

佐賀大学 理工学部 正 鬼塚亮志  
。正 吉武茂樹

### 1. 考え方

一般に、土の強度定数( $C$ ,  $\phi$ )は、せん断応力のピーク値、あるいは、ひずみが15%に達したときのせん断応力の値で決定されといふ。しかしながら、強度定数は、せん断過程に従って一定の値をとるのではなく、ひずみの増加に伴って変形から破壊に至る間に種々に変化するものと考えられる。本研究は、土の状態(乱さない土と締固め土)や試験条件(非水浸と水浸)の違いによつて、また、せん断方向の違いによつて、ひずみの増加に伴つて強度定数( $C$ ,  $\phi$ )がどのように発揮されるかを明らかにしようとしたものである。

2. 試料および試験方法: 2.1 試料 試験に用いた試料は、まさ土と不搅和の粘性土(仮称:赤土)である。諸性質は、まさ土:  $G_s=2.64$ ,  $I_p=20$ , レキ分37%, 砂分45%, シルト分12%, 粘土分6%, 赤土:  $G_s=2.69$ ,  $I_p=15$ , 砂分12%, シルト分55%, 粘土分23%である。乱さない試料は、先端にカッターを取り付けたCBR用モールドを切工斜面に静かに押し込んで採取した。これから、直徑6cm, 厚さ2cmの供試体を削り出した。締固め土は、乱さない供試体と同じ密度と含水比をもつように圧縮装置よりプランジャーを介して、モールド内に静的に締固めて作製した。この場合も供試体の寸法は直徑6cm, 厚さ2cmである。すみ、せん断方向の違いによつて、ひずみの増加に伴う強度定数の変化を調べるために、立方体モールドに締固めた試料から、水平供試体(H Specimen), 鉛直供試体(V Specimen)を削り出した。

2.2 試験方法 改良型の一面せん断試験機を用いて、圧密定圧せん断を行つた。せん断方法は、応力制御とりずみ制御を併用した。非水浸試験は、30~60分間圧密した後、直ちにせん断を行つて、水浸試験では、圧密後、給水して東直方向の変位が落ちつかないうちせん断を行つた。

3. 試験結果および考察: 3.1 せん断応力・垂直変位と水平変位の関係 亂さない状態で採取した試料のせん断応力・垂直変位と水平変位との関係は図-1のようにならう。すみ、この図中の破線は、静的に締固められた供試体のそれと示している。乱さない土では、小さな水平変位で明確なピークが現われる。また、垂直変位につれて、膨張に軽じ易く、その量も大きい。一方、静的に締固めた供試体では、水平変位の増加とともに、せん断応力は徐々に増大し、ピークは見られない。しかししながら、两者とも残留強度はほぼ一致するようになる。図は省略したが、赤土につれても同様な傾向が得られた。しかし、赤土の場合は、まさ土に比べて、水平変位がかなり大きくななること、両者の残留強度は一致しないようにも思われる。これは、まさ土の方が、せん断による粒子破碎などの影響を受け易いためと考えられる。

3.2 水平変位の増加に伴う強度定数( $C$ ,  $\phi$ )の変化 静的に締固めたまさ土につれて、そして水平変位におけるせん断応力をプロットしたのが図-2(非水浸), 図-3(水浸)である。いずれも、せん断応力に多少のバラつきがあるものの、そして水平変位に従つて、各々、直線が描け、強度定数( $C$ ,  $\phi$ )を求めることが可能である。このようにして求めた( $C$ ,

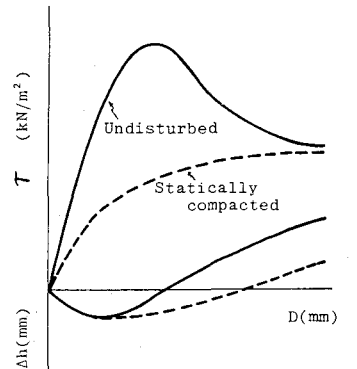


図-1 せん断応力・垂直変位と水平変位の関係

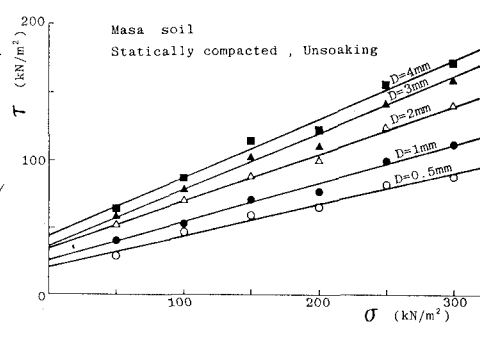


図-2 等水平変位線

中)を水平変位によつてプロットすると図-4(まさ土, 非水浸), 図-5(赤土, 非水浸), 図-6(まさ土, 水浸)のようになる。まさご土壤の場合, まさ土, 赤土とも, 小さな水平変位で, 見かけの粘着力  $C$  は最大に発揮され, 水平変位の増大につれて減少し, ほぼ一定の値となるようになる。一方, 静的締固めでは, 除々に増加せん断の序, 時点を遡らざるようになる。水浸変位が大きくなると, 兩試験体の見かけの粘着力  $C$  はほぼ一致する。これは, セン断応力・垂直変位と水平変位との関係と対応する。特に, まさ土についてはその傾向が強い。これは, まさ土の乱さない供試体がせん断による粒子破碎などの原因によつて乱され, 締固めた供試体の土構造に近づくためと思われる。

次に,  $\tan\phi$  中につれてみてみると, まさ土の場合, 亂さない供試体, 静的に締固めた供試体とも, 水平変位の増大につれて, 増加する傾向にある。赤土では, 見かけの粘着力  $C$  とはほぼ同じ傾向を示している。水浸すると, 図-6のようになる。見かけの粘着力  $C$  は, 非水浸に比べて若干低下するが, その傾向はほとんど変わらない。低下の度合には, 静的に締固めた供試体の方が大きい。 $\tan\phi$  中につれてみては, 水浸による影響はほとんど見られない。

#### 4. 水平変位の増加

に伴う強度定数( $C$ ,  $\phi$ )の異方性

水平変位の増加に伴う強度定数の変化を, H Specimen, V Specimen について比較すると図-7 のようになる。見かけの粘着力  $C$  は, 各水平変位とも V Specimen の方が大きくなっている。

$\tan\phi$  中につれてみては, 両 Specimen の明確な差はない。このことから, 強度異方性は, 両 Specimen の見かけの粘着力の差によるものと考えられる。

#### 参考文献

林重徳・山内豊義「三軸圧縮試験におけるせん断応力のモビライシングプロセス」昭和52年度公害研究会発表会  
山内豊義・林重徳・上山利彦「平面ひずみ試験におけるひずみせん断応力のモビライシングプロセス」昭和53年度土木学会西日本研究会発表会

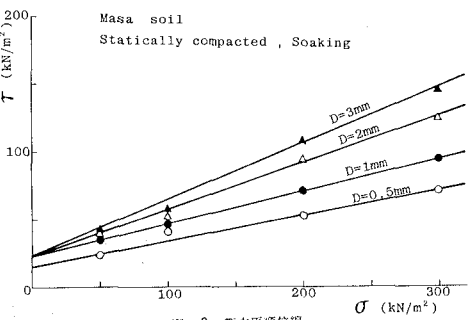


図-3 等水平変位線

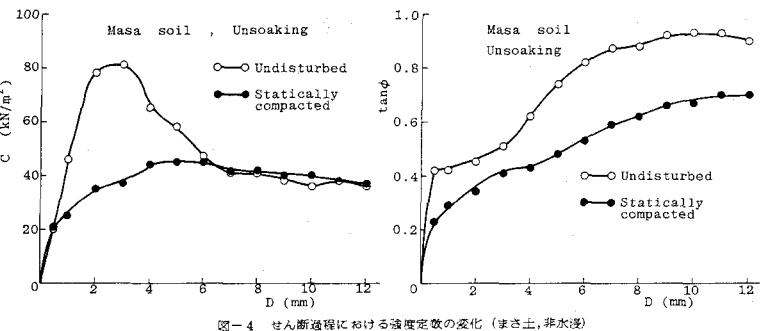


図-4 せん断過程における強度定数の変化(まさ土, 非水浸)

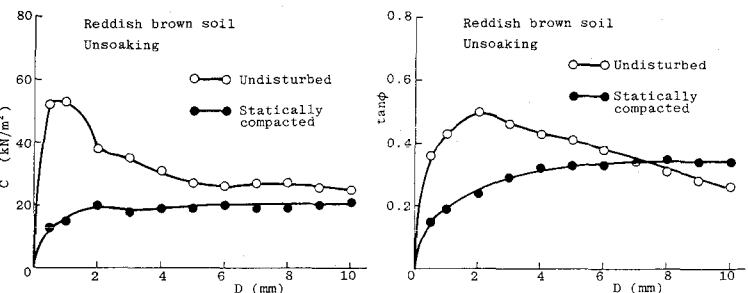


図-5 せん断過程における強度定数の変化(赤土, 非水浸)

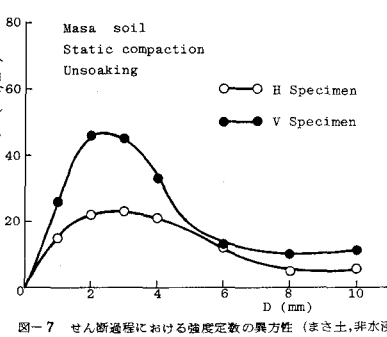


図-7 せん断過程における強度定数の異方性(まさ土, 非水浸)

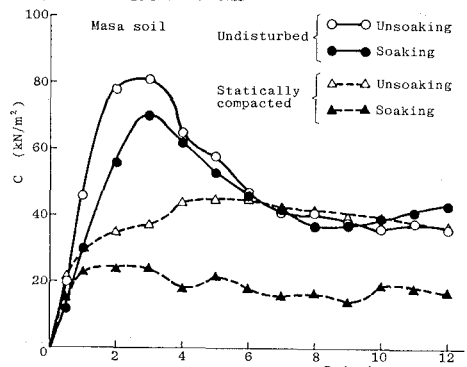


図-6 せん断過程における強度定数の変化(まさ土, 水浸)